



IRANIAN FOUNDRYMEN'S  
SOCIETY

# Founding Research Journal

## Synergy Effect of Bi Addition, Cooling Condition and Artificial Aging on Performance of Al-8Si-0.3Mg Cast Alloy

Saeed Farahany \*

Assistant Professor, Department of Chemical and Materials Engineering, Buein Zahra Technical University, 3451745346, Qazvin, Iran.

Received: 28 September 2018  
Accepted: 31 October 2018

### Abstract:

In this paper, synergy effect of various bismuth contents and cooling rates on performance of Al-8Si-0.3Mg cast alloy after applying T6 heat treatment was evaluated. Cooling rate was measured based on analyzing cooling curve and its second derivative curve. A step mould with different casting thicknesses was designed to obtain four different cooling rates (0.55 to 6 °C/s). Microstructures of sample were evaluated by optical microscopy and scanning electron microscopy (SEM). Results showed that sample modified with Bi and solidified at higher cooling rate required less time for annealing and spherodising of eutectic silicon. Moreover, tensile test results indicated that the highest yield strength (142.2 MPa), ultimate tensile strength (235 MPa) and elongation percentage (6.1%) obtained for the sample containing 0.5 wt% Bi and solidified at the highest cooling rate (6 °C/s). Fracture surface of samples cooled at low cooling rate comprised of cleavage indicating brittle fracture mode resulted in low ductility. Likewise, fracture surface of samples solidified at highest cooling rate exhibits dimples and ductile fracture mode. The counter graph of quality index used to predict the quality of heat-treated samples with different levels of Bi and solidified at various cooling rates showed that the highest index (352.8 MPa) obtained for specimen containing 0.5wt% Bi solidified at 6 °C/s cooling rate.

**Keywords:**  
Aluminium,  
Modification,  
Bismuth,  
Heat treatment,  
Mechanical properties

Journal homepage: [www.foundingjournal.ir](http://www.foundingjournal.ir)

### Please cite this article using:

Farahany S., Synergy effect of Bi addition, cooling condition and artificial aging on performance of Al-8Si-0.3Mg cast alloy, in Persian, Founding Research Journal, 2018, 2(3) 147-160.  
DOI: 10.22034/FRJ.2018.150301.1052

---

### \* Corresponding Author:

Saeed Farahany; Assistant Professor

**Address:** Buein Zahra Technical University

**Tel:** +98 (28) 33894

**E-mail:** farahany@bzte.ac.ir; saeedfarahany@gmail.com



## پژوهشنامه ریخته‌گری

### تأثیر هم زمان بیسموت، شرایط سرد شدن و پیرسازی مصنوعی بر کارایی آلیاژ ریختگی Al-8Si-0.3Mg

سعید فراهانی \*

استادیار، گروه مهندسی شیمی و مواد، مرکز آموزش عالی فنی و مهندسی بوئین‌زهرا، قزوین، ایران، farahany@bzte.ac.ir (نویسنده مکاتبه کننده)

## چکیده:

دریافت: ۱۳۹۷/۰۷/۰۶

پذیرش: ۱۳۹۷/۰۸/۰۹

در این تحقیق تأثیر هم زمان افزودن درصدهای مختلف بیسموت و سرعت سرد شدن بر بازدهی آلیاژ ریختگی Al-8Si-0.3Mg پس از انجام عملیات حرارتی T6 مورد ارزیابی قرار گرفت. سرعت سرد شدن با استفاده از آنالیز منحنی سرد شدن و مشتق دوم آن محاسبه شد. یک مدل پلهای با ضخامت‌های مختلف بهمنظور به دست آوردن چهار سرعت سرد شدن متفاوت (۰/۵۵ تا ۰/۶ درجه سانتی‌گراد بر ثانیه) طراحی شد. ریزساختار نمونه‌ها توسط میکروسکوپ نوری و الکترونی روبشی (SEM) مورد ارزیابی قرار گرفت. نتایج نشان داد که نمونه‌هایی که توسط بیسموت بهسازی شده و در سرعت‌های بالاتری سرد شده‌اند زمان کمتری برای آبلی انحلالی و کروی شدن سیلیسیم یوتکتیک نیاز دارند. همچنین نتایج آزمایش کشش بر روی نمونه‌های عملیات حرارتی شده نشان داد که پیشترین استحکام تسلیم ۱۴۲/۲ (مگا پاسکال) استحکام کششی نهایی (۲۳۵/۱ مگا پاسکال) و ازدیاد طول قلی از شکست (۶/۱٪ در نمونه حاوی ۰/۵٪ بیسموت) که در بالاترین سرعت سرد شده است (۶ درجه سانتی‌گراد بر ثانیه) به دست آمد. سطح شکست نمونه‌های آرام سرد شده عموماً حاوی مناطق کلیواز و بیانگر حالت شکستِ ترد و در نتیجه، کمبود انعطاف‌پذیری بود. در حالی که سطح شکست نمونه‌های سرد شده در سرعت‌های بالاتر شامل دیپل و حالت شکستِ نرم بود. کانتور اندیسیس کیفیت که برای پیش‌بینی کیفیت قطعات عملیات حرارتی شده حاوی درصدهای متفاوت بیسموت و با سرعت‌های مختلف سرد شدن مورد استفاده قرار گرفت، نشان داد که بالاترین اندیسیس (۳۵۲/۸ مگاپاسکال) برای نمونه حاوی ۰/۵٪ بیسموت و سرد شده در سرعت ۶ درجه سانتی‌گراد بر ثانیه به دست آمد.

**واژه‌های کلیدی:**  
 آلمینیم،  
 بهسازی،  
 بیسموت،  
 عملیات حرارتی،  
 خواص مکانیکی

یوتکتیک آلمینیم-سیلیسیم و نیز اصلاح دانه‌ای دو فرآیند پیش از تولید و بسیار مهم برای بهبود خواص قطعات ریختگی آلمینیم-سیلیسیم-منیزیم است. عملیات بهسازی بهمنظور بهبود ساختار سیلیسیم یوتکتیکی با افزایش عناصر بهساز مانند استرنسیم، کلسیم، سدیم و باریم به طور وسیعی در صنایع ریخته‌گری مورد استفاده قرار می‌گیرد. در نتیجه، فرآیند بهسازی، سیلیسیم یوتکتیکی از شکل سوزنی /پوسته‌ای به حالت الیافی/ رشتہ‌ای تبدیل می‌شود. به علت آنکه ساختار سوزنی یا پوسته‌ای مستعد به ایجاد ترک بوده و فاکتور تمرکز تنش بالایی دارد، این فرآیند موجب بالا رفتن درصد ازدیاد طول نسبی، تا نفس شکست و مقاومت به خستگی می‌شود.<sup>[۳]</sup>

## ۱- مقدمه

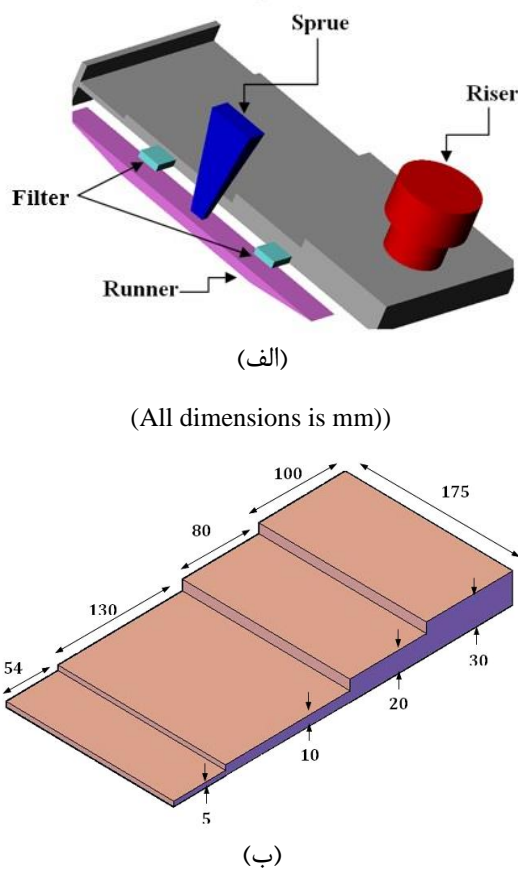
نمودار سه‌تایی آلمینیم-سیلیسیم-منیزیم نشان‌دهنده میزان پایین حل‌شوندگی منیزیم (۰/۵ درصد وزنی) در سیستم آلیاژی دوتایی آلمینیم-سیلیسیم است. بنابراین افزودن مقدار کمی منیزیم به این سیستم آلیاژی موجب ایجاد پیرسختی با تشکیل رسوبات Mg<sub>2</sub>Si می‌شود. این آلیاژها به دلیل داشتن خواص بسیار مناسب، به طور وسیعی در ساخت قطعات خودرو و هواپیما مورد استفاده قرار می‌گیرند. آلیاژهای آلمینیم-سیلیسیم دارای قابلیت ریخته‌گری بسیار مناسبی بوده<sup>[۱]</sup> و هزینه بازیابی کمتری دارند<sup>[۲]</sup>. همچنین دارای خواص مکانیکی و خودگی خوبی در حالت پیرسخت شده هستند. بهسازی ساختار

T4 ترکیبی از عملیات محلول‌سازی و سردکردن سریع است، در حالی که در T6 عملیات پیرسازی مصنوعی نیز بعد از آنها انجام می‌شود. هدف اصلی از انجام عملیات T6 تشكیل رسوبات Riz-Si با توزیع یکنواخت در زمینه آلومینیمی است که موانعی برای حرکت نابجایی‌های متحرک بوده و تغییر شکل موسمان را به تأخیر می‌اندازند. نابجایی‌ها برای عبور از این موانع رسوبی می‌باشد آنها را دور بزنند (بوسیله مکانیزم ارواون) و یا برش دهند. وانگ و دیویدسن [۱۴] گزارش کرده‌اند که افزایش مقدار منیزیم عموماً موجب بهبود بازدهی فرآیند پیرسازی می‌شود. هرچند که کاررس و همکارانش [۱۵] متوجه شدند که افزایش مقدار منیزیم موجب تشكیل فاز Al9FeMg3Si5 شده که تمایل به ترک بیشتری داشته و انعطاف‌پذیری و تافنس شکست را کاهش می‌دهد. در تحقیقات انجام شده، تأثیر پارامترهای عملیات حرارتی مانند زمان و دمای پیرسازی بر روی سختی و خواص کششی آلیاژ‌های Al-7Si-Mg مورد بررسی قرار گرفته است. اوگریس و همکارانش [۱۶] نشان دادند که انجام فرآیند گرمایی به تنها می‌تواند موجب بهبود ساختار سیلیسیم یوتکتیکی شده و شکل آنرا به صورت کروی تغییر دهد. این عمل بطور مستقیم بر روی خواص مکانیکی آلیاژ تاثیرگذار است. پارای و گروزلسکی [۱۷] تأثیر بھسازی ساختار یوتکتیک بر روی میزان کروی شدن سیلیسیم را مورد ارزیابی قراردادند. همچنین بیرون در سال ۲۰۰۹ میلادی بیان نمود که مورفوگزی آلومینیم زمینه تأثیری بر روی رفتار سخت‌شوندگی آلیاژ Al-7Si-Mg ندارد [۱۸]. چوی و همکارانش [۱۹] و نیز یانگ و همکارانش [۱] تأثیر هم‌زمان سرعت سرد شدن و عملیات حرارتی بر روی ریزساختار و خواص مکانیکی آلیاژ‌های به ترتیب Mg-Al-Si-Cu-Mg و A356 را مورد بررسی قرار دادند. آنها گزارش کرده‌اند که سرعت سرد شدن بیشتر نه تنها موجب بھسازی سریع تر ساختار سیلیسیم یوتکتیک می‌شود بلکه خواص کششی آن را نیز افزایش می‌دهد.

بیسموت به تنها می‌تواند موجب بهبود خواص ماشین‌کاری شود. به دلیل نقطه ذوب پایین، بیسموت در حین ماشین‌کاری ذوب شده و به عنوان روانکار عمل می‌کند. در نتیجه فرآیند ماشین‌کاری آلیاژ‌های آلومینیم را راحت‌تر می‌کند [۲۰]. نشان داده شده است که افزودن بیسموت موجب تغییر ساختار سیلیسیم یوتکتیک از حالت

علاوه بر عناصر ذکر شده، ایتریم، ایتریم، آنتیموآن و بیسموت نیز به منظور بهسازی ساختار سیلیسیم مورد استفاده قرار گرفته‌اند. هرچند این عناصر تأثیر کمتری بر ساختار سیلیسیم یوتکتیک داشته و آنها را به صورت لایه‌های ریز و به هم‌فرشده تبدیل می‌کنند. دو نظریه بر اساس جوانه‌زنی و رشد جهت توضیح مکانیزم بهسازی معرفی شده است که نظریه مبتنی بر رشد مقبولیت بیشتری نسبت به نظریه جوانه‌زنی دارد. نظریه جوانه‌زنی بر اساس خنثی شدن هسته‌های آلومینیم فسفايد موجود در مذاب توسط عناصر بهساز است که در نتیجه سیستم نیاز بیشتری به تحت تبرید داشته و سیلیسیم به شکل فیبری تبدیل می‌شود [۴]. مکدونالد و همکارانش نشان دادند که افروden استرنسیم تنها موجب افزایش فرکانس جوانه‌زنی‌ها می‌شود و تأثیری بر روی تعداد دوقلوئی‌های سیلیسیم ندارد [۵]. هرچند لو و هلاول برای اولین بار در سال ۱۹۷۶ میلادی نشان دادند که استرنسیم موجب افزایش تعداد دوقلوئی‌های سیلیسیم شده است [۷]. شمس‌الضھی و هوگان اساس آن را جذب اتم‌های استرنسیم بر روی صفحات در حال رشد سیلیسیم، جلوگیری از رشد آنها در جهات ترجیحی و تغییر جهت آنها بر اساس مکانیزم لبه‌ی فرورفتہ در صفحه دوقلوئی معرفی کرده‌اند [۸]. اخیراً تیمپل و همکارانش [۹، ۱۰] با بررسی دقیق‌تر و استفاده از روش توموگرافی پروب اتمی، این نظریه را تائید کرده‌اند. فرآیند اصلاح دانه‌ای، مشابه بهسازی با افروden مواتد مانند TiB<sub>2</sub>، B، یا Ti به منظور ریز کردن دانه‌ها و در حین عملیات بر روی مذاب انجام می‌شود [۱۱]. لازم به ذکر است که افزایش سرعت سرد شدن نیز به تنها می‌تواند موجب ریز کردن دانه‌ها و نیز بهسازی یوتکتیک شود [۱۲، ۱۳]. بنابراین ترکیبی از سرعت سرد کردن و نیز بهسازی یوتکتیک می‌تواند انتخاب مناسبی برای به دست آوردن خواص مکانیکی بهتر در قطعات ریختگی باشد. با انجام این فرآیند می‌توان خواص بهسازی و نیز اصلاح ساختاری را هم‌زمان به دست آورده و در نتیجه خواص آلیاژ را بهبود بخشید. شبستری و شهری [۱۳] نشان دادند که تنش تسليم و تنش نهائی با افزودن استرنسیم و سرعت سرد شدن افزایش می‌یابد. انجام عملیات حرارتی بر روی قطعات ریختگی تحت سیکل‌های مختلف گرم و سرد کردن نیز می‌تواند موجب بهبود خواص شود. معمول‌ترین عملیات حرارتی برای این قطعات، عملیات T4 و T6 است. عملیات حرارتی

دست آوردن سرعت‌های مختلف سرد شدن انتخاب شد. در این آزمایش از روش ماسه  $\text{CO}_2$  برای قالبگیری مدل استفاده شد. برای اطمینان از سلامت قطعه و عدم ورود حباب‌های تشکیل شده در حین حرکت مذاب به قطعه، از فیلتر سرامیکی اسفنجی استفاده شد. ترکیب شیمیایی ریختگی‌ها با انتخاب نمونه‌هایی از هر ذوب و با استفاده از دستگاه GDS (LECO GDS-850A) تعیین شد که در جدول (۱) جزئیات آن آمده است. اعداد گزارش شده میانگین ۳ بار اندازه‌گیری ترکیب شیمیایی است.



شکل ۱ - (الف) مدل چویی و (ب) سیستم راهگاهی طراحی شده برای تولید قطعات ریختگی پله‌ای.

جدول ۱- ترکیب شیمیایی واقعی آلیاژ‌های تولید شده در این تحقیق (بر حسب درصد وزنی)

Al	Bi	Mn	Cr	Fe	Mg	Si	Alloy
Bal.	0.00	0/0.9	0/0.9	0/200	0/321	8/12	Base
Bal.	0/0.8	0/0.9	0/0.9	0/232	0/325	8/35	B10
Bal.	0/20	0/0.9	0/0.9	0/255	0/329	8/54	B20
Bal.	0/36	0/0.9	0/0.9	0/208	0/321	8/20	B40
Bal.	0/47	0/0.9	0/0.9	0/251	0/312	8/17	B50

پوسته‌ای درشت به حالت لایه‌ای ریز می‌شود، کسر جامد فاز یوتکتیک را افزایش می‌دهد و در نتیجه خواص کششی آلیاژ Al-Si-Cu را بهبود می‌بخشد [۲۱]. بررسی تغییرات رفتار انجامدی و نیز مشاهدات میکروسکوپ الکترونی عبوری نشان داده است که این تغییرات ساختاری در سیلیسیم یوتکتیک مرتبط با تغییر در فرآیند رشد سیلیسیم است [۲۲]. همچنین از آنجهت که قطعات ریختگی دارای شکل‌های متنوع هستند که در سرعت‌های سرد شدن متفاوت منجمد می‌شوند، داشتن اطلاعات در مورد تاثیر همزمان افزودن عنصر بھساز، سرعت‌های متفاوت سرد شدن در سطح مقطع‌های مختلف و نیز عملیات حرارتی قطعات می‌تواند موضوع جذابی برای تحقیق در مورد آلیاژ‌های ریختگی Mg باشد. تاثیر افزودن بیسموت و سرعت سرد شدن بر ریزساختار و خواص مکانیکی آلیاژ Al-7Si-Mg قبلاً توسط نویسنده‌گان گزارش شده است [۲۳]. در تحقیق حاضر علاوه بر عوامل قبلی، تاثیر عملیات حرارتی T6 نیز مورد بررسی قرار گرفته است. در واقع تاثیر همزمان ۳ متغیر، یعنی درصدهای متفاوت بیسموت، سرعت‌های متفاوت سرد شدن در حین انجامد و عملیات حرارتی پیرسازی مصنوعی بر ریزساختار و خواص مکانیکی آلیاژ مورد ارزیابی قرار گرفته است. در پایان اندیسیکیفیت به عنوان معیاری برای سنجش کارایی آلیاژ مورد استفاده قرار گرفته است.

## ۲- روش تحقیق

حدود ۳ کیلوگرم از آلیاژ تجاری Al-8Si-0.3Mg در یک بوته سیلیکون کاربید قرار داده و در کوره مقاومتی الکتریکی (Nebertherm) ذوب شد. پس از ذوب شدن کامل آلیاژ و رسیدن دمای مذاب به  $740 \pm 5$  درجه سیلیسیوس، مقدار وزن شده‌ای از بیسموت با خلوص ۹۹/۹۹٪ به صورت گرانول در داخل فویل‌های آلومینیمی پیچیده و به مذاب افزوده شد. برای اطمینان از حل شدن و یکنواختی ترکیب شیمیایی، مذاب هر ۵ دقیقه به مدت ۳۰ ثانیه با استفاده از همزن فولادی پوشش داده شده با گرافیت هم‌زده شد. قبل از ریخته‌گری، مذاب با افزودن قرص هگزاکلرواتان به مدت ۱ دقیقه گاززدایی شد. سطح مذاب از اکسیدهای سطحی تمیز و سپس در دمای ۷۳۰ درجه سانتی‌گراد در داخل قالب پله‌ای با مشخصات نشان داده شده در شکل (۱) ریخته شد. این طراحی مدل برای به

نمونه کشش از هر حالت آزمایش شد و متوسط استحکام تسلیم (Y<sub>s</sub>)، استحکام کششی نهایی (UTS) و درصد افزایش طول (E<sub>l</sub>) محاسبه شد. همچنین سطح شکست نمونه‌های کشش توسط میکروسکوپ الکترونی روبشی (Philips-XL40) مورد بررسی قرار گرفت.

نمونه‌های متالوگرافی برش داده شد و پس از سنباده‌زنی و پولیش کاری با استفاده از محلول HF٪/۰.۵ حکاکی شد. از میکروسکوپ نوری (Olympus BX60F5) مجهز به نرم‌افزار آنالیزگر تصویر Buhler Omnimet به منظور بررسی ریزساختار در بزرگنمایی‌های پایین استفاده شد.

### ۳- نتایج و بحث

#### ۳-۱- تعیین سرعت سرد شدن

با توجه به طراحی صورت‌گرفته در تولید نمونه‌ها با سطح مقطع‌های متفاوت، سرعت‌های مختلف سرد شدن در حین انجماد به دست آمد. به منظور اندازه‌گیری دقیق سرعت سرد شدن، اطلاعات ثبت شده توسط ترموموکوپ‌ها با استفاده از نرم‌افزار آنالیز مورد بررسی قرار گرفت. برای اندازه‌گیری سرعت سرد شدن، ناحیه بین دمای ذوب‌ریزی تا دمای جوانه‌زنی آلومینیم یا نقطه لیکوئیدوس در نظر گرفته شد. همان‌طور که از نمودار فازی آلومینیم-سیلیسیم مشخص است، در آلیاژ‌های هیپریوتکتیکی، آلومینیم اولین فازی است که تشکیل می‌شود و فاز یوتکتیک آلومینیم-سیلیسیم پس از آن بوجود می‌آید. رابطه (۱) نشان‌دهنده نسبت فاصله دمایی ذوب‌ریزی تا جوانه‌زنی به تفاوت زمانی جوانه‌زنی و ذوب‌ریزی است که برای محاسبه سرعت سرد شدن استفاده شده است [۲۴].

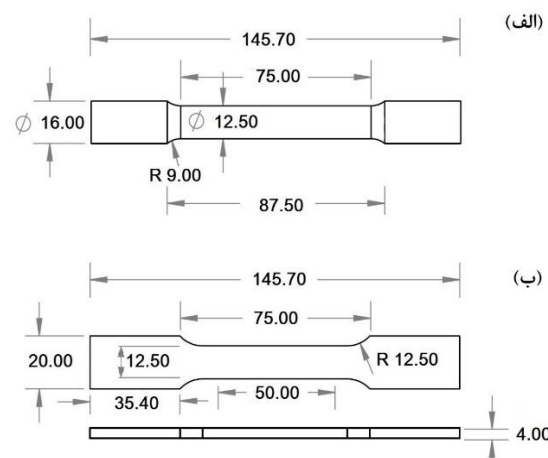
$$\text{Cooling rate} = \frac{(T_p - T_N)}{(t_N - t_p)} (\text{°C/s}) \quad (1)$$

در این رابطه،  $T_p$  و  $t_p$  به ترتیب دما و زمان مذاب‌ریزی و  $T_N$  و  $t_N$  به ترتیب دما و زمان جوانه‌زنی آلومینیم است. هر چند در برخی مواقع، شیب منطقه دوفازی مذاب-جامد برای تعیین سرعت سرد شدن استفاده می‌شود، اما این نسبت بیشتر متناسب با سرعت انجماد و حرکت فصل مشترک مذاب-جامد است. لذا در این تحقیق برای تعیین سرعت سرد شدن، منطقه بالای دمای لیکوئیدوس مورد استفاده قرار گرفت. برای تعیین دقیق دمای لیکوئیدوس یا

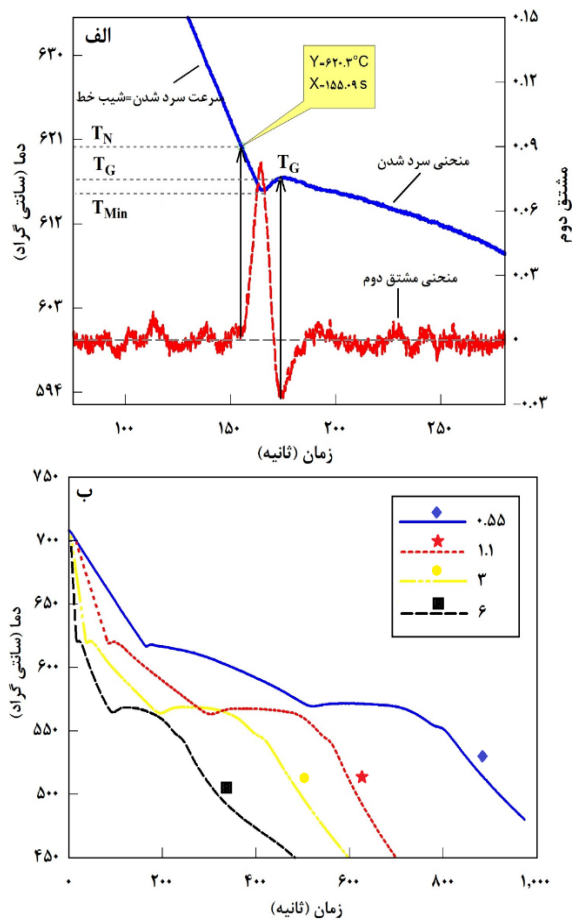
برای اندازه‌گیری سرعت سرد شدن، از آنالیز منحنی‌های سرد شدن استفاده شد. پس از قالب‌گیری و پیش از ریختگی، ترموموکوپ‌های نوع K در مرکز هر یک از سطوح ریختگی با ضخامت‌های مختلف تعییه شد تا تغییرات دما-زمان را ثبت نماید. داده‌ها با استفاده از دستگاه جمع‌آوری کننده اطلاعات که به کامپیوتر متصل بود و با استفاده از نرم‌افزار DEWEsoft 7.5 ثبت شد و سپس توسط نرم‌افزار پیشرفته آنالیزگر اطلاعات (FlexPro10) مورد تحلیل و بررسی قرار گرفت.

فرآیند عملیات حرارتی در کوره مقاومتی الکتریکی (CARBOLITE VMK-250) مجهز به کنترل کننده قابل برنامه‌ریزی انجام شد. به منظور کنترل دقیق دما، قبل از انجام عملیات حرارتی، کوره کالبیره شد. نمونه‌هایی که از مقاطع مختلف برش داده و انتخاب شده بودند، تحت عملیات حرارتی T6 قرار گرفتند که شامل مراحل زیر بود: آبیل اتحالای در دمای ۵۴۰ درجه سانتی‌گراد به مدت ۸ ساعت سپس کوئچ کردن در حمام آب گرم ۵۰ درجه سانتی‌گراد و در پایان عملیات پیرسازی مصنوعی در دمای ۱۷۰ درجه سانتی‌گراد به مدت ۴ ساعت.

نمونه‌های کشش مطابق با استاندارد ASTM B557M از نمونه‌های ریختگی تهیه شد. نمونه‌های کشش گرد از مقاطع ۱۰، ۲۰ و ۳۰ میلی‌متری و نمونه کشش تخت از مقاطع ۵ میلی‌متری توسط ماشین کاری تهیه شدند که ابعاد دقیق آنها در شکل (۲) آمده است. آزمایش کشش با استفاده از دستگاه Instron-5982 با سرعت ثابت حرکت ۰/۲ میلی‌متر بر ثانیه در دمای اتاق انجام شد. تعداد سه



شکل ۲- ابعاد نمونه‌های کشش (الف) گرد و (ب) تخت استفاده شده در این تحقیق.



شکل ۳ - (الف) منحنی سرد شدن و مشتق دوم آلیاژ پایه در سرعت سرد شدن ۰/۵۵ درجه سانتی گراد بر ثانیه و (ب) منحنی های سرد شدن برای آلیاژ پایه در سرعت های سرد شدن ۰/۱، ۰/۳، ۰/۶ و ۰/۰۵ درجه سانتی گراد بر ثانیه.

شدن، اندازه SDAS از  $1/5 \pm 1/2$  به  $67/9 \pm 1/5$  میکرومتر برای آلیاژ حاوی  $0/05\%$  بیسموت کاهش می‌یابد. این روند توسط ژانگ و همکارانش [۲۶] و نیز اوسوریو و همکارانش [۲۷] هم گزارش شده است. از جهت دیگر، شکل (۴) بیان‌گر تاثیر افزودنی بیسموت بر روی اندازه SDAS است. مقایسه شکل‌های (۴-الف)، (۴-ج) و (۴-ه) در سرعت سرد شدن یکسان، نشان‌دهنده آن است که افزودن بیسموت موجب کاهش ناچیز اندازه SDAS می‌شود. اندازه SDAS در سرعت  $0/55$  درجه سانتی گراد بر ثانیه برای آلیاژ بدون بیسموت،  $21/9 \pm 1/29$  میکرومتر است که به  $67/9 \pm 1/5$  در آلیاژ حاوی  $0/05\%$  بیسموت کاهش می‌یابد. رفتار مشابهی برای آلیاژهای سرد شده در سرعت  $3$  درجه سانتی گراد بر ثانیه مشاهده شد. SDAS برای آلیاژ حاوی  $0/01\%$  که با سرعت  $6$  درجه سانتی گراد بر ثانیه سرد شده، برابر  $47/1 \pm 1/1$  میکرومتر

دمای شروع جوانه‌زنی آلومینیم، از منحنی مشتق دوم سرد شدن استفاده شد. شکل (۳-الف)، نشان‌دهنده منحنی سرد شدن و منحنی مشتق دوم آن است. نقطه‌ای که در آن شیب منحنی مشتق دوم به طور ناگهانی از خط صفر به سمت بالا تغییر می‌کند، نشان‌دهنده لحظه دقیق جوانه‌زنی آلومینیم است ( $T_N$ ). همچنین نقطه حداقل آن، نشان‌دهنده دمای حداقل در حین دگرگونی ( $T_{Min}$ ) است. با نزول منحنی مشتق دوم و رسیدن به نقطه حداقل مشتق دوم، دمای رشد آلومینیم ( $T_G$ ) مشخص می‌شود که در شکل نشان داده شده است. اطلاعات بیشتر در مورد روش آنالیز منحنی‌های سرد شدن در مرجع شماره [۲۵] ارائه شده است. شکل (۳-ب) نشان‌دهنده رفتار سرد شدن آلیاژ پایه در سرعت‌های سرد شدن  $0/055$ ،  $0/1$ ،  $0/3$  و  $0/6$  درجه سانتی گراد بر ثانیه است که منطبق با چهار سطح مقطع مختلف به ترتیب با ضخامت‌های  $5$ ،  $10$ ،  $20$  و  $30$  میلی‌متر است.

### ۳-۲-۳- بررسی ریزساختار

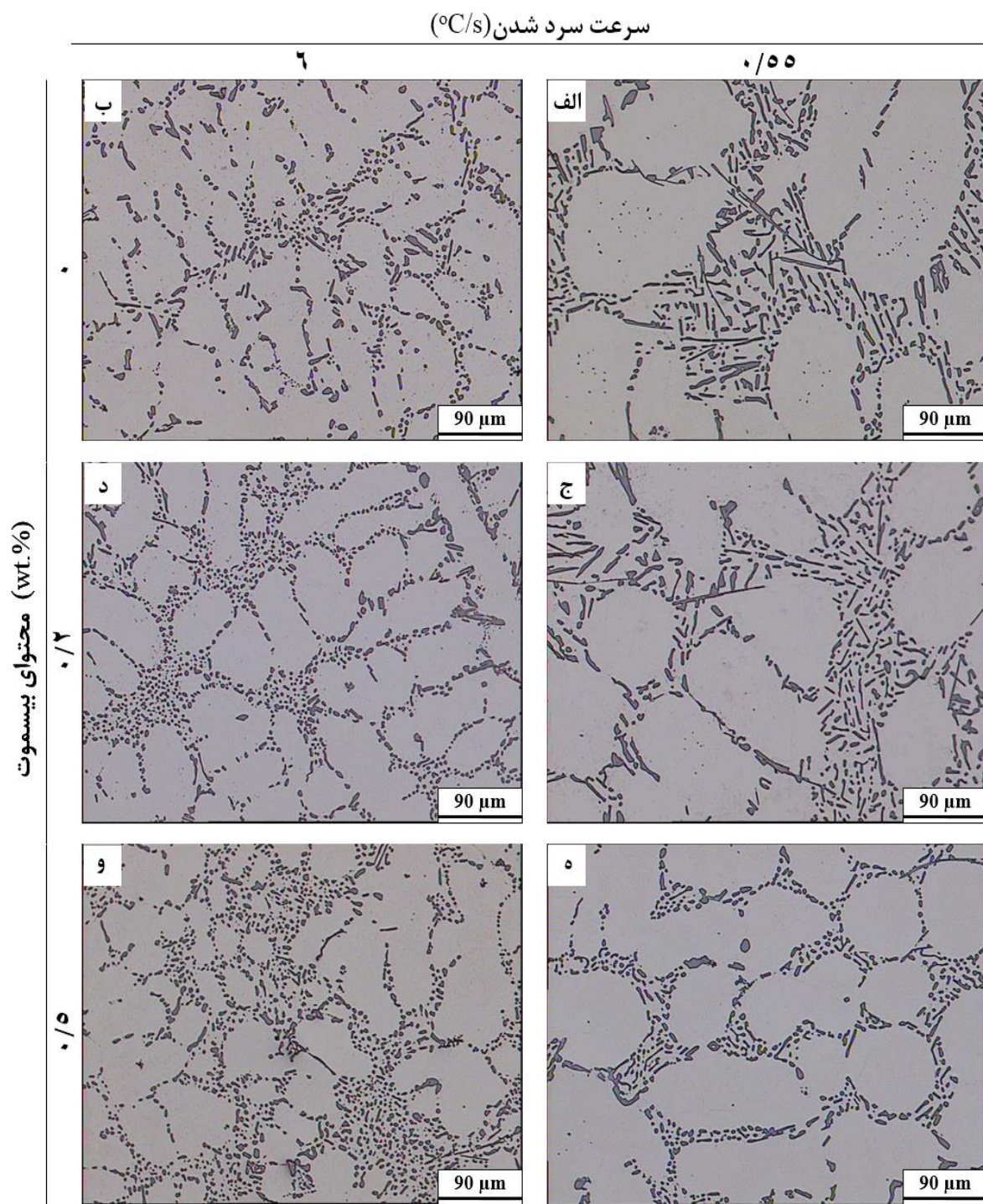
شکل (۴)، نشان‌دهنده تغییرات ریزساختاری پس از عملیات حرارتی  $T_6$  در نمونه‌هایی با درصد های متفاوت بیسموت است که با کمترین و بیشترین سرعت سرد شدن، یعنی سرعت‌های  $0/055$  (راست) و  $0/6$  درجه سانتی گراد بر ثانیه (چپ) منجمد شده‌اند. به منظور بررسی ریزساختار نمونه‌ها، دندربیت‌های آلومینیم و نیز ساختار سیلیسیم یوتکنیک مورد بررسی دقیق‌تر قرار گرفته‌اند.

### ۳-۲-۴- دندربیت‌های آلومینیم

ساختار دندربیتی آلومینیم به خوبی در شکل (۴) نشان داده شده است. همان‌طور که مشاهده می‌شود، فاصله بازوی‌های دندربیت‌های ثانویه بدون در نظر گرفتن اثر افزودنی بیسموت به شدت به سرعت سرد شدن وابسته است. نمونه‌هایی که آهسته‌تر منجمد شده‌اند ( $0/055$  درجه سانتی گراد بر ثانیه)، دارای SDAS بزرگتر هستند، در حالی که نمونه‌هایی که در بالاترین سرعت سرد شده‌اند ( $0/6$  درجه سانتی گراد بر ثانیه)، SDAS کمتری دارند. برای آلیاژ پایه که در پایین‌ترین سرعت سرد شده است، SDAS برابر  $46/8 \pm 0/9$  میکرومتر است اما این مقدار به  $71/9 \pm 1/2$  میکرومتر برای آلیاژی که در بالاترین سرعت سرد شده است، کاهش می‌یابد. به طور مشابه با افزایش سرعت سرد

گزارش شده است که بیسموت تا حدودی موجب کاهش اندازه دندربیت‌های آلمینیم [۲۵] و منیزیم [۲۸] می‌شود.

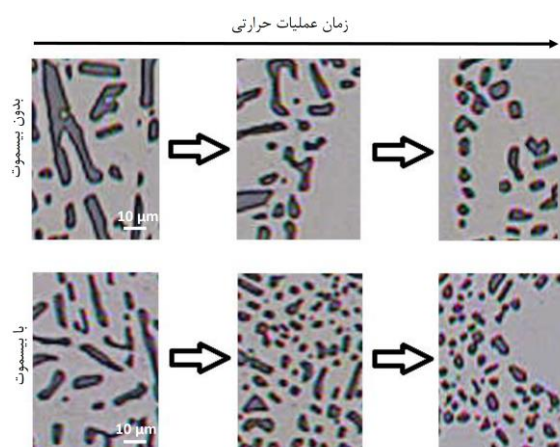
است که با افزودن  $۰/۰/۴$ ٪ و  $۰/۰/۵$ ٪ بیسموت به ترتیب به  $۴۳/۴ \pm ۱/۲$  و  $۴۵/۴ \pm ۱/۱$  میکرومتر کاهش پیدا می‌کند.



شکل ۴- ریزساختار نمونه‌های سرد شده در سرعت‌های  $۰/۰/۵$ ٪ (راست) و  $۶$  درجه سانتی‌گراد بر ثانیه (چپ) حاوی مقداری مختلف بیسموت پس از عملیات حرارتی: (الف ، ب) بدون بیسموت ، (ج ، د)  $۰/۰/۲$ ٪ و (ه ، و)  $۰/۰/۵$ ٪ بیسموت.

(۶ درجه سانتی‌گراد بر ثانیه) چندان زیاد نیست. تقریباً سیلیسیم در تمامی نمونه‌ها به صورت گرد و فیبری وجود دارد. ولی در نمونه‌هایی که آرام سرد شده‌اند (۰/۵۵ درجه سانتی‌گراد بر ثانیه)، ساختار سیلیسیم در نمونه‌های بدون بیسموت و با بیسموت متفاوت است. سیلیسیم‌های جداشده از حالت صفحه‌ای یا پولکی به حالت ذرات ریز گرد و تقریباً فیبری تغییر یافته‌اند. در نتیجه نرخ کروی‌شدن در نمونه‌های بهسازی شده نسبت به نمونه‌های بهسازی نشده سرعت بیشتری داشته است. لی و همکارانش [۳۰] گزارش کرده‌اند که زمان لازم برای فرآیند کروی‌سازی سیلیسیم در آلیاژهای بهسازی شده در مقایسه با بهسازی نشده کمتر است. فرآیند شکسته و کروی‌شدن سیلیسیم در آلیاژ بدون بیسموت و با بیسموت با گذشت زمان عملیات حرارتی در شکل (۵) نشان داده شده است. مشخص شده است که در اثر عملیات حرارتی، سیلیسیم‌های بلند سوزنی شکل به اجزای کوچک‌تر شکسته می‌شوند [۱۹]. همان‌طور که در آلیاژ بدون بیسموت مشاهده می‌شود، ذرات سیلیسیم از محلهای زاویه‌دار و گوشهای ابتدا شکسته شده و سپس به حالت کروی در می‌آیند. حال آنکه در نمونه‌های حاوی بیسموت، ذرات سیلیسیم به اجزای ریزتر تکده شده و کروی می‌شوند.

از شکل (۴) نیز می‌توان مشاهده کرد که اثر سرعت سرد کردن بر روی ذرات سیلیسیم در بازه ۰/۵۵ تا ۶ درجه سانتی‌گراد بر ثانیه نسبت به افزودن بیسموت در بازه ۰/۱ تا ۰/۵٪ چشم‌گیرتر است. یانگ و همکارانش [۱] نشان دادند که سرعت سرد شدن بیشتر موجب بهسازی سریعتر

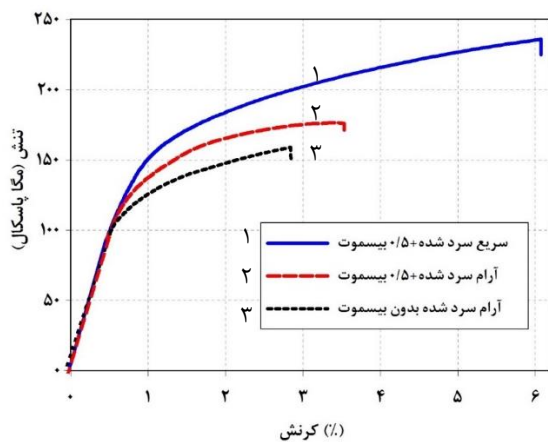


شکل ۵- فرآیند شکسته شدن و کروی‌شدن سیلیسیم در حین عملیات حرارتی به ترتیب در آلیاژ بدون بیسموت (بالا) و با ۰/۵٪ بیسموت (پایین) سرد شده در سرعت ۰/۵۵ درجه سانتی‌گراد بر ثانیه.

## ۲-۲-۳- ساختار یوتکتیک

شکل (۴-ب)، نشان‌دهنده ذرات سیلیسیم‌های یوتکتیکی در آلیاژ پایه سرد شده با سرعت ۶ درجه سانتی‌گراد بر ثانیه پس از عملیات حرارتی است. همان‌طور که مشاهده می‌شود، سیلیسیم‌ها اغلب دارای لبه‌های گرد بوده و به صورت جدا از هم درآمده‌اند. در مقابل ریزساختار آلیاژ پایه که در آرام‌ترین سرعت سرد شدن منجمد شده است (۰/۵۵ درجه سانتی‌گراد بر ثانیه) نشان‌دهنده شکسته شدن جزئی سیلیسیم‌ها است. این سیلیسیم‌ها اغلب درشت، زاویه‌دار و سوزنی شکل هستند (شکل ۴-الف). روند مشابهی برای نمونه‌هایی که به آنها ۰/۲٪ بیسموت اضافه شده و در کمترین و بیشترین سرعت سرد شدن منجمد شده‌اند، مشاهده می‌شود (شکل ۴-ج و ۴-د). هر چند که ریزساختار نمونه‌هایی که دارای ۰/۵٪ بیسموت هستند، نشان‌دهنده کروی‌شدن کامل سیلیسیم در حالت سریع و آرام سردشده است که به ترتیب در شکل‌های (۴-ه) و (۴-و) نشان‌داده شده است.

لازم به یادآوری است که تمامی نمونه‌های مورد ارزیابی، سیکل عملیات حرارتی یکسانی را از نظر دما و زمان فرآیند عملیات‌حرارتی تجربه کرده‌اند، در حالی که ریزساختار نمونه‌ها، تفاوت‌های آشکاری را نشان می‌دهد. از آنجایی که تکه‌تکه شدن و کروی‌شدن سیلیسیم یوتکتیکی یک فرآیند نفوذی است، لذا بازدهی عملیات آنیل انحلالی متاثر از زمان عملیات حرارتی خواهد بود. از مقایسه شکل‌های سیلیسیم در حالت‌های مختلف نشان داده شده در شکل (۴) می‌توان نتیجه‌گیری کرد که شکل سیلیسیم قبل از عملیات حرارتی بر بازدهی عملیات حرارتی تاثیرگذار است. مورفولوژی سیلیسیم در اثر افزودن مقادیر مختلف بیسموت و تحت سرعت سرد شدن متفاوت در مرجع [۲۳] آمده است. در واقع نحوه جدا شدن یا تکه‌تکه شدن سیلیسیم‌ها و کروی‌شدن آنها به مورفولوژی قبل از انجام عملیات حرارتی پیرسختی بستگی دارد. همان‌طور که گزارش شده است [۲۹، ۲۱]، سیلیسیم در آلیاژ آلومینیم-سیلیسیم بدون بیسموت اغلب به صورت ورقه‌ای و درشت است، حال آنکه افزودن بیسموت موجب لایه‌ای شدن و ریزتر شدن سیلیسیم می‌شود. پارای و همکارانش [۱۷] بیان کرده‌اند که بهسازی، موجب افزایش شاخه‌ای شدن و تسريع فرآیند تکه‌تکه شدن سیلیسیم می‌شود. تغییرات ریزساختاری بین نمونه‌های بهسازی شده و بهسازی نشده در بیشترین سرعت سرد شدن



شکل ۶- منحنی تنش-کرنش نمونه‌های عملیات حرارتی شده در حالت‌های مختلف: آرام سرد شده (۵/۵۵ درجه سانتی گراد بر ثانیه) بدون بیسیمومت، آرام سرد شده و سریع سرد شده (۶ درجه سانتی گراد بر ثانیه) حاوی ۰/۵٪ بیسیمومت.

ژانگ و همکارانش [۲۶، ۳۳] تاثیر سرعت سرد شدن بر روی خواص کششی آلیاژ Al-Si-Mg را مورد مطالعه قرار دادند. هیوسنر و همکارانش [۳۴] بیان نمودند که هم استحکام تسلیم و هم استحکام کششی نهایی پس از عملیات حرارتی تا دو برابر افزایش یافته است. همان‌طور که قبل ذکر شد شکل سیلیسیم یوتکتیک نقش بسیار مهمی در تعیین خواص مکانیکی آلیاژهای آلومینیم-سیلیسیم دارد. علاوه بر افزودن عنصر بھساز، همان‌طور که در شکل‌های (۴) و (۵) نشان داده شده است، عملیات آنیل انحلالی حرارتی موجب تغییر ساختار سیلیسیم یوتکتیک می‌شود [۱۷].

شکل (۷) نشان‌دهنده تغییرات خواص مکانیکی شامل استحکام تسلیم، استحکام کششی نهایی و میزان افزایش طول به عنوان تابعی از درصد بیسیمومت و سرعت سرد شدن است. مشاهده می‌شود که نمونه‌هایی که در سرعت‌های بالاتری سرد شده‌اند (حداکثر سرعت)، بیشترین مقدار استحکام تسلیم و استحکام کششی نهایی را دارند استحکام تسلیم و ۷-الف و ۷-ب). علاوه بر فرآیند بھسازی، کروی‌شدن سیلیسیم یوتکتیک در اثر عملیات حرارتی T6 موجب افزایش استحکام تسلیم و استحکام کششی نهایی نمونه‌ها شده است. چوی و همکارانش [۱۹] گزارش کردند که کروی‌شدن ذرات سیلیسیم موجب بهبود استحکام کششی نهایی و نفوذپذیری حرارتی می‌شود. میزان تغییر طول تا شکست یکی از معیارهای مهم برای ارزیابی انعطاف‌پذیری نمونه‌ها است. کروی‌شدن سیلیسیم‌هایی که طبیعت ترد و شکننده‌ای دارند، مهم‌ترین دلیل برای

سیلیسیم یوتکتیکی می‌شود. به طور کلی می‌توان دید که عملیات حرارتی موجب بهبود ساختاری سیلیسیم یوتکتیک شده است که هم‌راستا با نتایج ارائه شده در این زمینه است [۱۹، ۳۱]. نتایج مشابهی برای آلیاژهای بھسازی شده با استرنسیم گزارش شده است [۱۶، ۳۲].

### ۳-۳- خواص مکانیکی

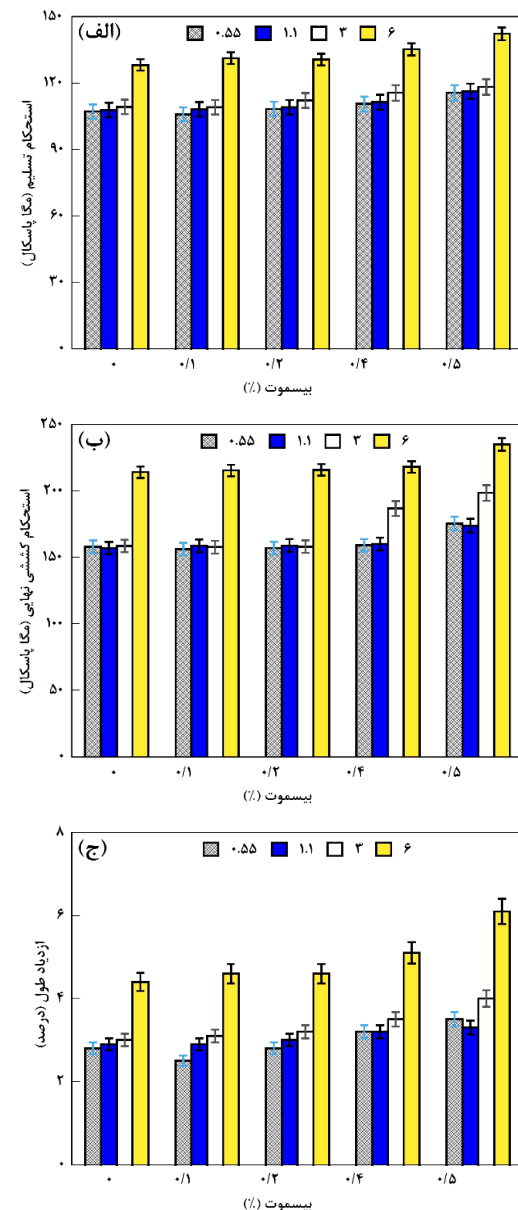
ترکیب شیمیایی، نوع فرآیند ریخته‌گری، بھسازی، اصلاح‌دانه‌ای، سرعت سرد شدن و عملیات حرارتی مهم‌ترین عوامل تاثیرگذار بر روی خواص مکانیکی آلیاژهای آلومینیم-سیلیسیم هستند [۳]. شکل (۶)، منحنی تنش-کرنش نمونه‌های عملیات حرارتی شده بدون بیسیمومت، سرددشده در آرام‌ترین سرعت (۵/۵۵ درجه سانتی گراد بر ثانیه) و نمونه‌های حاوی بیسیمومت در آرام‌ترین و سریع‌ترین حالت سرد شدن (۶ درجه سانتی گراد بر ثانیه) را نشان می‌دهد. مقایسه منحنی تنش-کرنش برای دو نمونه بدون بیسیمومت و با بیسیمومت که با سرعت یکسان ۵/۵۵ درجه سانتی گراد بر ثانیه سرد شده‌اند نشان‌دهنده افزایش استحکام تسلیم (YP)، استحکام کششی نهایی (UTS) و درصد ازدیاد طول (%EI) در هنگام شکست است. استحکام تسلیم برای نمونه بدون بیسیمومت ۱۰۷/۹۱ مگاپاسکال است که با افزودن ۰/۵٪ بیسیمومت، استحکام تسلیم به ۱۱۵/۵ مگاپاسکال افزایش یافته است. همچنین با افزودن ۰/۵٪ بیسیمومت استحکام کششی نهایی از ۱۵۷/۹ به ۱۷۵/۵ مگاپاسکال تغییر یافته است. همچنین مقایسه این دو منحنی نشان می‌دهد که افزودن ۰/۵٪ بیسیمومت، افزایش طول را به میزان ۰/۲۵٪ افزایش داده است. نشان داده شده است که افزودن بیسیمومت موجب بهبود خواص مکانیکی آلیاژ Al-12Si-2Cu شده است [۲۱]. از جهت دیگر مقایسه منحنی‌های تنش-کرنش نمونه‌هایی که دارای ۰/۵٪ بیسیمومت بوده و در دو سرعت سرد متفاوت یعنی آرام‌ترین و سریع‌ترین حالت سرد شده‌اند نشان‌دهنده تاثیر چشم‌گیر سرعت سرد شدن در افزایش خواص مکانیکی نسبت به افزودن بیسیمومت است. با افزایش سرعت سرد شدن از ۵/۵۵ به ۶ درجه سانتی گراد بر ثانیه، میزان استحکام تسلیم، استحکام کششی نهایی و نیز درصد ازدیاد طول به ترتیب ۰/۲۳٪ و ۰/۳۴٪ افزایش یافته است. این نتایج انتظامی خوبی با بررسی‌های ریزساختاری دیده شده در شکل (۴) دارد.

نشده و کروی نشده‌اند، وجود دارد (شکل ۴-الف و ۴-ج). نشان داده شده است که انعطاف‌پذیری و شکل‌پذیری به اندازه و مورفولوژی ذرات سیلیسیم بستگی دارد [۳۳]. در واقع همان‌طور که قبل ذکر شد، اثر سرعت سرد شدن نسبت به افزودن بیسموت در بهبود خواص مکانیکی چشم‌گیرتر است. بیشترین استحکام تسليیم، استحکام کششی نهایی و درصد ازدیاد طول مربوط به نمونه‌های عملیات حرارتی شده‌ای است که دارای ۰/۰۵٪ بیسموت بوده و با بیشترین سرعت سرد شده‌اند (۶ درجه سانتی‌گراد بر ثانیه). مقایسه خواص مکانیکی برای نمونه‌ی بدون بیسموت، سرددشده در سرعت ۰/۰۵٪ درجه سانتی‌گراد بر ثانیه و نمونه حاوی ۰/۰۵٪ بیسموت سرددشده در سرعت ۶ درجه سانتی‌گراد بر ثانیه نشان‌دهنده افزایش استحکام تسليیم، استحکام کششی نهایی و نیز درصد ازدیاد طول به ترتیب به میزان ۳۳٪، ۴۸٪ و ۱۱۷٪ بود. نتایج به دست آمده مشابه یافته‌های موسوی و همکارانش است [۳۶] که بیشترین خواص مکانیکی آلیاژ A356 را در حالت بهینه افزودنی لantanیم (۰/۰۱٪)، بالاترین سرعت سرد شدن و انجام عملیات حرارتی T6 به دست آوردند.

عموماً آلیاژهای آلومینیم برای کاربردهای صنایع خودروسازی و هوایی نیازمند ترکیب مناسبی از خواص کششی و انعطاف‌پذیری هستند. همان‌طور که ذکر شد، افزودن عنصر بهمساز و نیز افزایش سرعت سرد شدن می‌تواند موجب اصلاح ریزاساختار و بهبود خواص مکانیکی شود. همچنانی همان‌طور که مشاهده شد، اعمال فرآیند عملیات حرارتی نیز می‌تواند موجب بهبود ریزاساختار و افزایش خواص مکانیکی شود. در واقع تغییرات ریزاساختاری در اندازه دندریت‌های آلومینیم و نیز تغییر شکل سیلیسیم یوتکتیکی که موجب تغییر در خواص مکانیکی شده‌اند، بیان‌کننده تاثیر هم‌زمان سه عامل افزودن بیسموت، تغییر سرعت سرد شدن و نیز عملیات حرارتی T6 است. توضیح فوق را به طور خلاصه می‌توان در رابطه پیشنهادی (۲) بیان کرد:

$$\sigma_y = f_{ae} \sigma_{ae} + \frac{f_{ae} \sigma_{ae} + (\sum_1^6 K_i f_i) \sigma_{Si}}{f_{ae} + \sum_1^6 f_i} + \sigma_{ip} \quad (2)$$

که در این رابطه،  $f_{ae}$  کسر حجمی دندریت‌های آلومینیم،  $\sigma_{ae}$  تنش تسليیم،  $K_i$  ثابت،  $f_i$  اندازه بازوهای دندریت ثانویه،  $\sigma_{Si}$



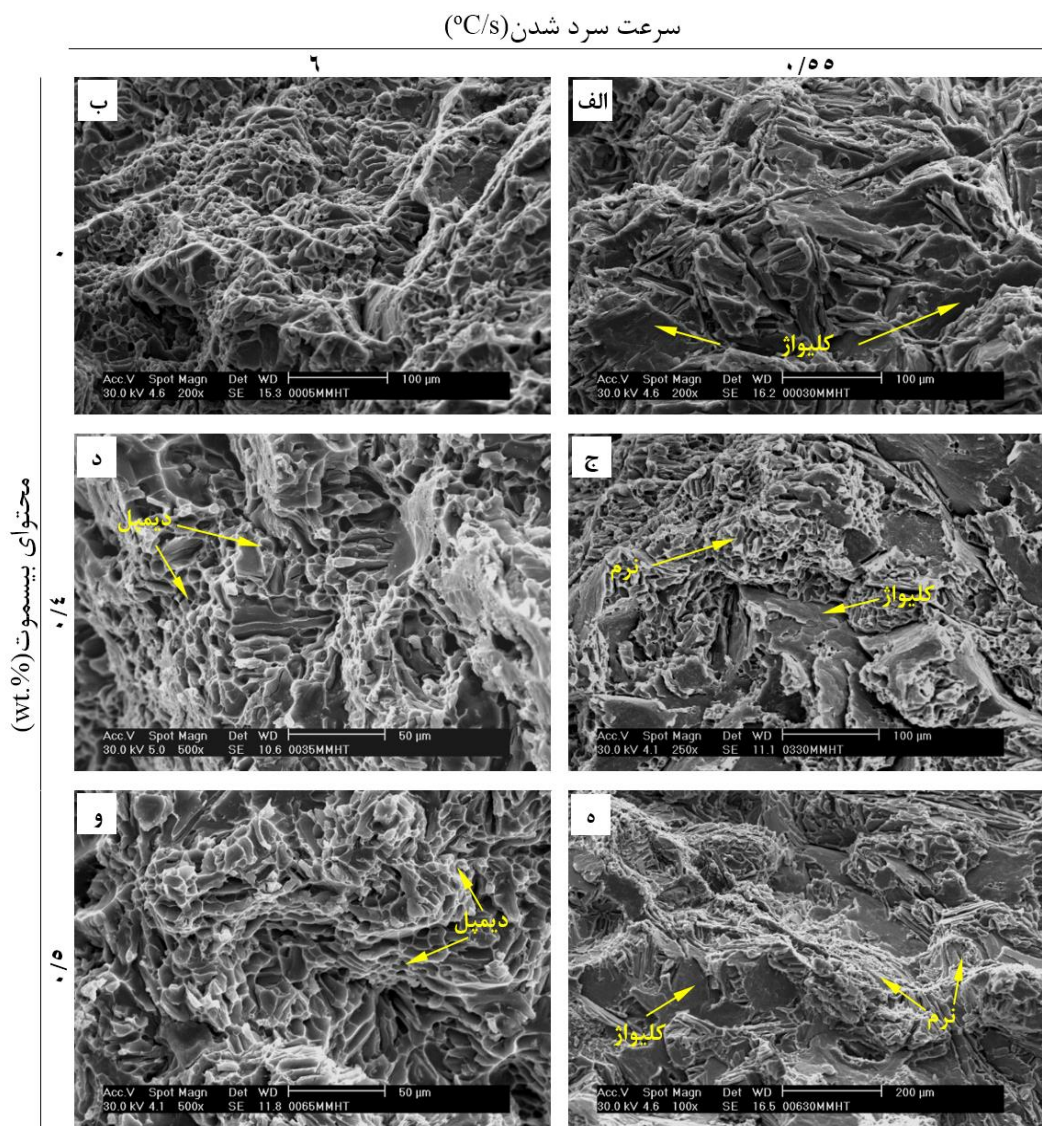
شکل ۷- تغییرات خواص مکانیکی نمونه‌های عملیات حرارتی شده: (الف) استحکام تسليیم، (ب) استحکام کششی نهایی و (ج) درصد ازدیاد طول تا شکست به عنوان تابعی از مقدار بیسموت و سرعت سرد شدن.

افزایش ازدیاد طول شکست است. سیلیسیم‌های کروی شده و رسوبات ریزشده، تشکیل، ایجاد و اشعه ترک را به تاخیر انداخته و موجب افزایش انعطاف‌پذیری می‌شوند [۳۵]. زمانی که سیلیسیم‌ها مجزا و کروی می‌شوند، اشعه ترک به صورت پیوسته کمتر خواهد بود و بیشتر از طریق زمینه آلومینیمی که نرمتر است، صورت می‌گیرد. علاوه بر این، کمبودن مقدار انعطاف‌پذیری در نمونه‌هایی که در آرامترین شرایط سرد شده‌اند به دلیل آن است که همچنان لایه‌هایی از سیلیسیم که کاملاً تکه‌تکه

#### ۴-۳-بررسی سطح شکست

سطح شکست نمونه‌های عملیات حرارتی شده توسط میکروسکوپ الکترونی روبشی مورد ارزیابی قرار گرفت. تأثیر بیسموت و نیز اعمال عملیات حرارتی را می‌توان بر روی خصوصیات ظاهری سطح شکست مشاهده نمود. شکل (۸)، سطح شکست نمونه‌های بدون بیسموت و حاوی  $۰/۰۵\%$  بیسموت را نشان می‌دهد که در سرعت‌های متفاوت  $۰/۵۵$  و  $۰/۶$  درجه سانتی‌گراد بر ثانیه سرد شده‌اند. سطح شکست نمونه بدون بیسموت و سرد شده در سرعت  $۰/۵۵$  درجه سانتی‌گراد بر ثانیه نشان‌دهنده حالت شکست ترد است که در آن صفحات کلیواژ به خوبی مشاهده

و  $\sigma_{ac}$  کسر حجمی و تنش تسلیم آلمینیم در فاز یوتکتیک آلمینیم-سیلیسیم،  $\sigma_{Si}$  تنش تسلیم سیلیسیم،  $f_i$  کسر حجمی سیلیسیم‌های با شکل مختلف،  $K_i$  پارامتری ای است که بستگی به مورفولوژی و شکل سیلیسیم دارد (مقدار حداقل و حد اکثر آن به ترتیب متناسب با کلاس ۱ و کلاس ۶ نوع سیلیسیم بر اساس دسته‌بندی انجمان ریخته‌گری (آمریکا<sup>۱</sup>) و  $\sigma_{ip}$  استحکام از طریق تشکیل رسوب بین فلزی  $Mg_2Si$  است. همان‌طور که در این رابطه مشاهده می‌شود، بخش اول مرتبط با استحکام فاز آلمینیم زمینه، بخش دوم مرتبط با استحکام فاز یوتکتیک آلمینیم-سیلیسیم و بخش آخر مرتبط با استحکام‌دهی رسوبات است.



شکل ۸- سطح شکست نمونه‌های سرد شده در سرعت  $۰/۵۵$  (سمت راست) و  $۰/۶$  (سمت چپ) با محتوای بیسموت متفاوت پس از انجام عملیات حرارتی: (الف-ب) بدون بیسموت، (ج-د)  $۰/۰\%$  بیسموت و (ه-و)  $۰/۵\%$  بیسموت.

می‌شود. این رابطه در جاهایی معتبر است که میزان درصد انعطاف‌پذیری بیشتر از ۱٪ باشد. از آنجایی که در این رابطه  $Q$  تابعی از هر دوی UTS و EI% است، بنابراین این رابطه بیان‌کننده بهتری از خواص کششی نسبت به حالتی است که تنها UTS و یا تنها EI% در نظر گرفته شود. تغییرات اندیس کیفیت برای نمونه‌های عملیات حرارتی شده با در نظر گرفتن محتوای بیسموت و شرایط انجام‌دادی مختلف در شکل ۹ نشان داده شده است.

به منظور پیش‌بینی و ارزیابی بهتر اندیس کیفیت در اثر تغییر هم‌زمان درصد بیسموت و سرعت سرد شدن در دامنه وسیع‌تری از متغیرها از نمودار کانتور استفاده شده است. در شکل ۹ دو متغیر محور X و Y به ترتیب درصد بیسموت و سرعت سرد شدن و متغیر سوم، Z اندیس کیفیت است. برای درون‌یابی اندیس کیفیت نواحی مختلف می‌توان از خطوط هم‌مقدار که در شکل نشان داده شده است، استفاده نمود. همان‌طور که مشاهده می‌شود، افزودن بیسموت تا کمتر از ۰/۴٪ تقریباً روند یکسانی را برای اندیس کیفیت در سرعت‌های مختلف سرد شدن نشان می‌دهد. حال آن که با افزایش سرعت سرد شدن، اندیس کیفیت نمونه‌ها به طور تدریجی افزایش یافته است. به طور مثال، اندیس کیفیت نمونه‌هایی که دارای ۰/۱٪ بیسموت هستند و با بیشترین ۶ درجه سانتی‌گراد بر ثانیه) سرد شده‌اند، به ترتیب برابر ۲۱۵/۹ و ۳۱۴/۹ مگاپاسکال است. در واقع، بهترین پاسخ به عملیات حرارتی با در نظر گرفتن اندیس کیفیت مربوط به نمونه‌هایی است که با سرعت بالاتر سرد شده‌اند. هر چند که افزودن

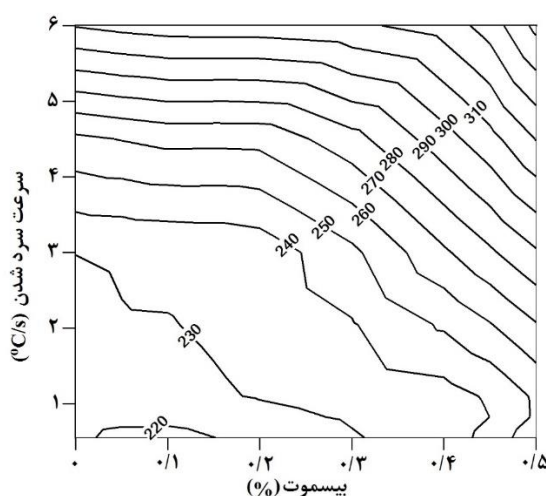
می‌شوند (شکل ۸-الف). در مقابل سطح شکست نمونه بدون بیسموت که در سرعت ۶ درجه سانتی‌گراد بر ثانیه سرد شده است، نشان‌دهنده مناطق بیشتری با حالت شکست نرم است (شکل ۸-ب). می‌توان مشاهده نمود که بین تغییر ساختار سیلیسیم یوتکتیک و رفتار شکست نمونه‌ها، ارتباط مستقیم وجود دارد. همان‌طور که در شکل ۸-ج) دیده می‌شود، سطح شکست نمونه‌ی حاوی ۰/۰۴٪ بیسموت که در آرام‌ترین سرعت سرد شده است، ترکیبی از شکست نرم و ترد است. در حالی که دیمپل‌ها که نشان‌دهنده شکست نرم هستند، در سطح شکست نمونه‌ای که دارای همین میزان بیسموت بوده ولی در بالاترین سرعت سرد شده است، به خوبی دیده می‌شود (شکل ۸-د). سطح شکست نمونه حاوی ۰/۵٪ بیسموت در آرام‌ترین حالت، هم‌چنان نشان‌دهنده ترکیبی از شکست نرم و ترد است (شکل ۸-ه). حال آن که، دیمپل‌ها کل سطح شکست نمونه حاوی ۰/۵٪ بیسموت و سرد شده در سریع‌ترین حالت را در برگرفته‌اند (شکل ۸-و) که به‌وضوح بیان‌گر شکست نرم است و انطباق خوبی با نتایج خواص مکانیکی به خصوص درصد ازدیاد طول دارد. دیمپل‌های ایجاد شده، رشد کرده و با پیوستن به یکدیگر موجب ایجاد صفحات جداسده از یکدیگر می‌شوند. در ابتدا حفره‌های بسیار ریز تشکیل می‌شوند که معمولاً در فصل مشترک فاز سخت (سیلیسیم) و فاز نرم زمینه (آلومینیم) ایجاد می‌شوند. در این حالت، شکست به نیروی بیشتری نسبت به شکست ترد نیاز دارد.

### ۳-۵-۵- اندیس کیفیت

یک معیار تجربی و عددی به‌نام اندیس کیفیت ( $Q$ ) برای تخمین و ارزیابی کیفیت قطعات ریختگی Al-Si-Mg تعريف شده است. مقدار  $Q$  به پارامترهای مؤثر ساختاری مانند بهسازی، شرایط انجام‌دادی و عملیات حرارتی بستگی دارد [۳۷].  $Q$  اندیس عددی است که بیان‌کننده تأثیر استحکام نهایی و درصد ازدیاد طول قطعه بر بازدهی قطعات ریختگی است و به صورت زیر بیان می‌شود:

$$Q = UTS + K \log (EI\%) \quad (3)$$

که  $UTS$  استحکام کششی نهایی بر حسب مگاپاسکال،  $EI\%$  میزان ازدیاد طول بر حسب درصد و  $K$  ثابتی است که برای آلیاژهای Al-Si-Mg،  $150$  مگاپاسکال در نظر گرفته



شکل ۹ - کانتور اندیس کیفیت برای نمونه‌های عملیات حرارتی شده به عنوان تابعی از درصد بیسموت و سرعت سرد شدن.

افزودن ۵٪ درصد وزنی بیسموت به نمونه سرد شده در سرعت ۶ درجه سانتی‌گراد بر ثانیه بیشترین مقدار اندیس کیفیت، ۳۵۲/۸ مگاپاسکال، به دست آمد.

## مراجع

- [1] Yang C.L., Li Y.B., Dang B., Bin Lü H., Liu F., Effects of cooling rate on solution heat treatment of as-cast A356 alloy, Transaction Nonferrous Metal Society of China (English Ed., 2015, 25, 3189-3196.
- [2] Yan H., Chen F., Li Z., Microstructure and mechanical properties of AlSi10Cu3 alloy with (La+Yb) addition processed by heat treatment, Journal of Rare Earths, 2016, 34, 938-944.
- [3] Joseph S., Kumar S., A systematic investigation of fracture mechanisms in Al-Si based eutectic alloy-Effect of Si modification, Materials Science and Engineering A., 2013, 588, 111-124.
- [4] Makhlof M.M., Guthy H. V., The aluminum-silicon eutectic reaction: Mechanisms and crystallography, Journal of Light Metals, 2001, 1, 199-218.
- [5] McDonald S.D., Nogita K., Dahle A.K., Eutectic grain size and strontium concentration in hypoeutectic aluminium-silicon alloys, Journal of Alloys and Compounds, 2006, 422, 184-191.
- [6] McDonald S.D., Nogita K., Dahle A.K., Eutectic nucleation in Al-Si alloys, Acta Materialia, 2004, 52, 4273-4280.
- [7] Lu S.Z., Hellawell A., The mechanism of silicon modification in aluminum-silicon alloys: Impurity induced twinning, Metallurgical Transaction A., 1987, 18, 1721-1733.
- [8] Shamsuzzoha M., Hogan L.M., Twinning in fibrous eutectic silicon in modified Al-Si Alloys, Journal of Crystal Growth, 1985, 72, 735-737.
- [9] Timpel M., Wanderka N., Schlesiger R., Yamamoto T., Lazarev N., Isheim D., Schmitz G., Matsumura S., Banhart J., The role of strontium in modifying aluminium-silicon alloys, Acta Materialia, 2012, 60, 3920-3928.
- [10] Timpel M., Wanderka N., Schlesiger R., Yamamoto T., Isheim D., Schmitz G., Matsumura S., Banhart J., Sr-Al-Si co-segregated regions in eutectic Si phase of Sr-modified Al-10Si alloy, Ultramicroscopy, 2013, 32, 216-221.
- [11] Samuel E., Golbahar B., Samuel A.M., Doty H.W., Valtierra S., Samuel F.H., Effect of grain refiner on the tensile and impact properties of Al-Si-Mg cast alloys, Materoals & Design, 2014, 56, 468-479.
- [12] Dutta B., Rettenmayr M., Effect of cooling rate on the solidification behaviour of Al-Fe-Si alloys, Materials Science and Engineering. A., 2000, 283, 218-224.

۰/۵٪ بیسموت به تنها بی نیز موجب بهبود اندیس کیفیت نمونه‌ها در سرعت‌های ثابت سرد شدن شده است. همان‌طور که در شکل (۹) مشاهده می‌شود بیشترین اندیس کیفیت که در ۳۵۲/۸ مگاپاسکال (برای نمونه‌ای است که دارای بیشترین مقدار بیسموت بوده و در بیشترین سرعت سرد شده است.

## ۴- نتیجه‌گیری

۱- عملیات حرارتی T6 موجب تغییر در شکل و مورفولوژی سیلیسیم یوتکتیک شد. مشاهده شد که زمان لازم برای فرآیند کروی‌سازی سیلیسیم در نمونه حاوی ۵٪ درصد وزنی بیسموت در مقایسه با نمونه بدون بیسموت کمتر است. در نمونه حاوی بیسموت، ذرات سیلیسیم به اجزای ریزتر تکه‌تکه شده و کروی شدند، حال آنکه در نمونه بدون بیسموت ذرات سیلیسیم از محل‌های زاویه‌دار ابتدا شکسته شده و سپس به حالت کروی درآمدند.

۲- خواص مکانیکی نمونه‌های ریختگی در اثر اعمال عملیات حرارتی T6 بهبود یافت. افزایش سرعت سرد شدن از ۰/۵۵ به ۶ درجه سانتی‌گراد بر ثانیه و نیز مقدار افزودنی بیسموت از صفر به ۰/۵ درصد وزنی، موجب افزایش استحکام تسلیم، استحکام کششی نهایی و درصد ازدیاد طول پس از انجام عملیات حرارتی شد. در یک مقدار ثابت بیسموت، افزایش سرعت سرد شدن موجب افزایش خواص مکانیکی شد. همچنین در یک سرعت سرد شدن ثابت، خواص مکانیکی با افزایش بیسموت بهبود یافت. بالاترین استحکام تسلیم، استحکام کششی نهایی و درصد ازدیاد طول به ترتیب ۱۴۲/۲ مگاپاسکال، ۲۳۵ مگاپاسکال و ۶/۱ درصد برای نمونه سرد شده با سرعت ۶ درجه سانتی‌گراد بر ثانیه و حاوی ۵٪ درصد وزنی بیسموت به دست آمد.

۳- بررسی سطوح شکست نشان‌دهنده تبدیل حالت شکست از ترد (کلیواژ) به نرم (دیمپل) با افزایش سرعت سرد شدن و مقدار بیسموت است که انطباق خوبی با ریزساختار مشاهده شده و نتایج آزمون کشش دارد.

۴- محاسبه اندیس کیفیت به عنوان معیاری برای ارزیابی کارایی نمونه‌ها نشان داد که بازدهی نمونه‌ها با افزایش سرعت سرد شدن و افزودن بیسموت افزایش یافت. اندیس کیفیت برای نمونه بدون بیسموت با افزایش سرعت سرد شدن از ۰/۵۵ به ۶ درجه سانتی‌گراد بر ثانیه از ۲۲۲/۶ به ۲۵۷/۱ مگاپاسکال افزایش یافت. با

- Cu--Fe alloy, *Journal of Thermal Analysis and Calorimetry*, 2013, 114, 705–717.
- [26] Zhang L.Y., Jiang Y.H., Ma Z., Shan S.F., Jia Y.Z., Fan C.Z., Wang W.K., Effect of cooling rate on solidified microstructure and mechanical properties of aluminium-A356 alloy, *Journal of Materials Processing Technology*, 2008, 207, 107-111.
- [27] Osório W.R., Goulart P.R., Santos G.A., Neto C.M., Garcia A., Effect of dendritic arm spacing on mechanical properties and corrosion resistance of Al 9wt.pct Si and Zn 27 wt.pct Al alloys, *Metallurgical and Materials Transactions A*. 2006, 37, 2525-2538.
- [28] Joshi U., Hari Babu N., The grain refinement potency of bismuth in magnesium, *Journal of Alloys and Compounds*, 2017, 695, 971–975.
- [29] Farahany S., Ourdjini A., Idris M.H., Shabestari S.G., Evaluation of the effect of Bi, Sb, Sr and cooling condition on eutectic phases in an Al-Si-Cu alloy (ADC12) by in situ thermal analysis, *Thermochimica Acta*, 2013, 559, 59-68.
- [30] Li H.J., Shivkumar S., Luo X.J., Apelian D., Influence of Modification on the Solution Heat-treatment Response of Cast Al-Si-Mg Alloys, *Cast Metals*, 1998, 1, 227–234.
- [31] محمدی م., تقی‌ابادی ر., نظری م., تأثیر عنصر بھساز در بهبود اندیس کیفیت آلیاژ آلومینیم A356 قبل و بعد از عملیات حرارتی T6, پژوهشنامه ریخته‌گری, ۱۴۷ (۱)، ۱۸-۲۰، ۱۱-۲۵.
- [32] Apelian D., Shivkumar S., Sigworth G., Fundamental aspects of heat treatment of cast Al-Si-Mg alloys, *AFS Transactions*, 1989, 97, 727–742.
- [33] Zhang D.L., Zheng L.H., StJohn D.H., Effect of solution treatment temperature on tensile properties of Al-7Si-0.3Mg (wt-%) alloy, *Materials Science and Technolgy*, 1998, 14, 619-625.
- [34] Heusler L., Schneider W., Influence of alloying elements on the thermal analysis results of Al-Si cast alloys, *Journal of Light Metals*, 2002, 2, 17–26.
- [35] Osorio W.R., Garcia L.R., Goulart P.R., Garcia A., Effects of eutectic modification and T4 heat treatment on mechanical properties and corrosion resistance of an Al-9 wt%Si casting alloy, *Materials Chemistry and Physics*, 2007, 106, 343–349.
- [36] Mousavi G.S., Emamy M., Rassizadehghani J., The effect of mischmetal and heat treatment on the microstructure and tensile properties of A357 Al-Si casting alloy, *Materilas Science and Engineering A*, 2012, 556, 573–581.
- [37] Closset B., Gruzleski J.E., Structure and properties of hypoeutectic Al-Si-Mg alloys modified with pure strontium, *Metallurgical Transactions A*, 1982, 13, 945–951.
- [13] Shabestari S.G., Shahri F., Influence of modification, solidification conditions and heat treatment on the microstructure and mechanical properties of A356 aluminum alloy, *Journal of Materials Science*, 2004, 39, 2023–2032.
- [14] Wang Q.G., Davidson C.J., Solidification and precipitation behaviour of Al-Si-Mg casting alloys, *Journal of Materials Science*, 2001, 36, 739-750.
- [15] Caceres C.H., Davidson C.J., Wang Q.G., Griffiths J.R., The effect of Mg on the microstructure and mechanical behavior of Al-Si-Mg casting alloys, *Metallurgical and Materials Transactions A*, 1999, 30, 2611-2618.
- [16] Ogris E., Wahlen A., Lüchinger H., Uggowitzer P., On the silicon spheroidization in Al-Si alloys, *Journal of Light Metals*, 2002, 2, 263-269.
- [17] Paray F., Gruzleski J.E., Modification—a Parameter to Consider in the Heat Treatment of Al-Si Alloys, *Cast Metals*, 1992, 5, 187-198.
- [18] Birol Y., Response to artificial ageing of dendritic and globular Al-7Si-Mg alloys, *Journal of Alloys and Compounds*, 2009, 484, 164-167.
- [19] Choi S.W., Kim Y.M., Lee K.M., Cho H.S., Hong S.K., Kim Y.C., Kang C.S., Kumai S., The effects of cooling rate and heat treatment on mechanical and thermal characteristics of Al-Si-Cu-Mg foundry alloys, *Journal of Alloys and Compounds*, 2014, 617, 654-659.
- [20] Dasch J.M., Ang C.C., Wong C.A., Waldo R.A., Chester D., Cheng Y.T., Powell B.R., Weiner A.M., Konca E., The effect of free-machining elements on dry machining of B319 aluminum alloy, *Journal of Materials Processing Technololy*, 2009, 209, 4638-4644.
- [21] Farahany S., Ourdjini A., Bakar T.A.A., Idris M.H., Role of bismuth on solidification, microstructure and mechanical properties of a near eutectic Al-Si alloys, *Metals Materilas International*, 2014, 20, 929-938.
- [22] Farahany S., Ourdjini A., Bakar T.A.A., Idris M.H., On the refinement mechanism of silicon in Al-Si-Cu-Zn alloy with addition of bismuth, *Metallurgical and Materials Transactions A*, 2014, 45, 1085–1088.
- [23] Farahany S., Ourdjini A., Idris M.H., Takaloo A. V., Thai L.T., Combined effect of bismuth content and cooling rate on microstructure and mechanical properties of Al-8.5Si-0.4Mg-0.3Fe alloy, *Canadian Metallurgical Quarterly*, 2013, 52, 208–216.
- [24] Jafari H., Khalilnezhad M., Farahany S., Computer-aided cooling curve thermal analysis and microstructural evolution of Mg-5Zn-xY cast alloys, *Journal of Thermal Analysis and Calorimetry*, 2017, 130, 1429-1437.
- [25] Farahany S., Ourdjini A., Idris M.H., Shabestari S.G., Computer-aided cooling curve thermal analysis of near eutectic Al-Si-